

УДК 539.3

## ИССЛЕДОВАНИЕ РАЗРУШЕНИЯ ПОД ДЕЙСТВИЕМ ВНУТРЕННЕГО И ВНЕШНЕГО ДАВЛЕНИЯ ТОЛСТОСТЕННОГО ЦИЛИНДРИЧЕСКОГО СОСУДА, ИЗГОТОВЛЕННОГО ИЗ ПЛАСТИЧЕСКИ НЕОДНОРОДНОГО МАТЕРИАЛА

М. Пан, Ч. В. Цзинь, Ю. Ц. Чзан

Чжэцзянский университет, 310058 Ханчжоу, Китай

E-mails: ppmzju@163.com, ccwwjin@163.com, cyqzhang@zju.edu.cn

Исследуется разрушение под действием внутреннего и внешнего давления замкнутого толстостенного цилиндрического сосуда. Получены выражения для величины давления, при которой происходит разрушение (разрушающее давление), и эквивалентной деформации на внутренней и внешней поверхностях сосуда. Исследовано влияние пластической анизотропии, деформационного упрочнения и внешнего давления на величину разрушающего давления. Установлено, что в случае замкнутого толстостенного цилиндрического сосуда разрушающее давление зависит от пластической анизотропии и внешнего давления. Соответствующая эквивалентная деформация зависит от пластической анизотропии, а именно от показателя степени в законе деформационного упрочнения материала, а также от отношения внутреннего радиуса сосуда к его внешнему радиусу.

**Ключевые слова:** толстостенный цилиндрический сосуд, разрушающее давление, пластическая анизотропия, деформационное упрочнение.

DOI: 10.15372/PMTF20210217

**Введение.** Цилиндрические сосуды широко используются в нефтехимической промышленности, самолето- и кораблестроении и т. д. Поскольку цилиндрические сосуды применяются для хранения и транспортировки воды, нефти и газа, обеспечению их безопасной эксплуатации уделяется большое внимание [1–5]. Известно, что контактирование сосудов с агрессивной средой может привести к их разрушению. Для того чтобы обеспечить сохранность сосудов высокого давления, необходимо оценить величину давления, при которой может произойти их разрушение (разрушающее давление). С использованием критерия текучести Мизеса и теории пластической неустойчивости в работе [6] вычислено разрушающее давление для толстостенного цилиндрического сосуда высокого давления. В [7] получено аналитическое решение задачи о разрушении находящегося под действием осевой нагрузки, крутящего момента, внутреннего и внешнего давления толстостенного цилиндра, изготовленного из упрочняющегося материала, удовлетворяющего критерию текучести Мизеса. В работе [8] для случая тонкостенного цилиндрического сосуда получено аналитическое выражение для максимального давления, при котором возникает пластическая неустойчивость. С использованием критериев текучести Треска и Мизеса

в [9] получены выражения для разрушающего давления в случае неповрежденных (не содержащих дефекты) трубок. Установлено, что значение давления, найденное с помощью критерия Мизеса для сосудов, изготовленных из мягкой стали, является верхней оценкой разрушающего давления для толстостенного цилиндрического сосуда. В работе [10] получено аналитическое решение упругопластической задачи о деформировании толстостенной цилиндрической оболочки под действием внутреннего давления. Предполагалось, что материал оболочки обладает линейным деформационным упрочнением. В [11] при определении разрушающего давления для неповрежденных трубок использовался критерий текучести осредненных напряжений сдвига. В работе [12] получено решение задачи о разрушении тонкостенных неповрежденных труб, торцы которых закрыты крышками. В [13] предложена модель разрушения труб с использованием весового критерия текучести и с учетом конечных деформаций.

Следует отметить, что материал цилиндрических сосудов может обладать пластической анизотропией, появившейся на стадии их изготовления. В [14] определено разрушающее давление для длинной тонкостенной бездефектной трубы, материал которой обладает пластической анизотропией.

В данной работе с использованием теории пластичности Хилла [15], учитывающей ортогональную анизотропию материала, получено выражение для разрушающего давления в случае толстостенного цилиндрического сосуда, находящегося под действием внутреннего и внешнего давления.

**1. Зависимость напряжений от деформаций.** Рассматривается цилиндрический сосуд, находящийся под действием внутреннего давления  $P$  и внешнего давления  $\alpha P$  ( $0 \leq \alpha < 1$ ). Торцы цилиндрического сосуда закрыты крышками. Внутренний и внешний радиусы цилиндра обозначены через  $R_{in}$  и  $R_{out}$  соответственно. Предполагается, что материал, из которого изготовлен сосуд, обладает пластической анизотропией. Зависимость напряжения от деформации описывается соотношением [6]

$$\sigma = K\varepsilon^n, \quad (1)$$

где  $\sigma$ ,  $\varepsilon$  — эквивалентные напряжение и деформация соответственно;  $K$  — коэффициент жесткости;  $n$  — степень деформационного упрочнения. Параметры  $n$  и  $K$  определяются через номинальные напряжения и инженерную деформацию с использованием экспериментальной кривой напряжение — деформация.

Зависимость напряжения от деформации, полученная в экспериментах на одноосное растяжение, обычно записывается с использованием деформации  $\varepsilon$  и напряжения  $\sigma$ , которые в предположении, что деформирование происходит без изменения объема, определяются следующим образом:

$$\varepsilon = \ln(1 + \varepsilon'); \quad (2)$$

$$\sigma = \sigma'(1 + \varepsilon') \quad (3)$$

( $\varepsilon'$  — инженерная деформация;  $\sigma'$  — номинальное напряжение).

**2. Анализ процесса разрушения сосуда.** В соответствии с теорией пластичности Хилла для материалов с ортогональной анизотропией [15] выражение для эквивалентного напряжения в случае цилиндрической оболочки записывается в виде

$$\sigma = \sqrt{\frac{3}{2}} \left( \frac{F(\sigma_\theta - \sigma_r)^2 + G(\sigma_r - \sigma_a)^2 + H(\sigma_a - \sigma_\theta)^2}{F + G + H} \right)^{1/2}, \quad (4)$$

где  $\sigma_a$ ,  $\sigma_\theta$ ,  $\sigma_r$  — осевое, окружное и радиальное главные напряжения соответственно;  $F$ ,  $G$ ,  $H$  — параметры анизотропии.

В предположении пропорционального нагружения выражение для эквивалентной деформации имеет вид

$$\varepsilon = \sqrt{\frac{2}{3}} (F + G + H)^{1/2} \left( \frac{F(G\varepsilon_\theta - H\varepsilon_r)^2 + G(H\varepsilon_r - F\varepsilon_a)^2 + H(F\varepsilon_a - G\varepsilon_\theta)^2}{(FG + GH + HF)^2} \right)^{1/2}, \quad (5)$$

где  $\varepsilon_a$ ,  $\varepsilon_\theta$ ,  $\varepsilon_r$  — осевая, окружная и радиальная главные деформации соответственно.

Введя параметры

$$r_a = H/G, \quad r_\theta = H/F, \quad (6)$$

соотношения (4), (5) запишем следующим образом:

$$\sigma = \sqrt{\frac{3}{2}} \left( \frac{r_a(\sigma_\theta - \sigma_r)^2 + r_\theta(\sigma_r - \sigma_a)^2 + r_a r_\theta (\sigma_a - \sigma_\theta)^2}{r_a + r_\theta + r_a r_\theta} \right)^{1/2}; \quad (7)$$

$$\varepsilon = \sqrt{\frac{2}{3}} \left( \frac{r_a + r_\theta + r_a r_\theta}{r_a r_\theta} \right)^{1/2} \left( \frac{r_\theta(\varepsilon_\theta - r_a \varepsilon_r)^2 + r_a(r_\theta \varepsilon_r - \varepsilon_a)^2 + (r_a \varepsilon_a - r_\theta \varepsilon_\theta)^2}{(1 + r_a + r_\theta)^2} \right)^{1/2}. \quad (8)$$

С учетом осевой симметрии задачи и конечных деформаций уравнение равновесия в цилиндрических координатах имеет вид

$$(r + u) \frac{d\sigma_r}{d(r + u)} = \sigma_\theta - \sigma_r, \quad (9)$$

где  $r$ ,  $u$ ,  $r + u$  — начальный радиус точки, ее смещение и текущий радиус соответственно.

В случае конечных смещений радиальная и окружная деформации вычисляются по формулам

$$\varepsilon_r = \ln \left( 1 + \frac{du}{dr} \right); \quad (10)$$

$$\varepsilon_\theta = \ln \left( 1 + \frac{u}{r} \right). \quad (11)$$

Из (10), (11) следует

$$(r + u) \frac{d\varepsilon_\theta}{d(r + u)} = 1 - e^{\varepsilon_\theta - \varepsilon_r}. \quad (12)$$

Во многих экспериментах, проводимых с замкнутыми цилиндрическими сосудами, замечено, что вблизи торцов осевая деформация  $\varepsilon_a$  очень мала, поэтому ею можно пренебречь [16]. Тогда из условия несжимаемости материала следует [4]

$$\varepsilon_r = -\varepsilon_\theta; \quad (13)$$

$$\sigma_a = (\sigma_r + \sigma_\theta)/2. \quad (14)$$

Из уравнений (7), (14) получаем

$$\sigma = \lambda(\sigma_\theta - \sigma_r), \quad (15)$$

где

$$\lambda = \sqrt{\frac{3}{8} \frac{4r_a r_\theta + r_a + r_\theta}{r_a r_\theta + r_a + r_\theta}}.$$

Подставляя  $\varepsilon_a = 0$  и  $\varepsilon_r = -\varepsilon_\theta$  в уравнение (8), имеем

$$\varepsilon = \beta \varepsilon_\theta, \quad (16)$$

где

$$\beta = \sqrt{\frac{2}{3} \frac{(r_a r_\theta + r_a + r_\theta)(r_a + 1)}{(1 + r_a + r_\theta)r_a}}.$$

Вводя безразмерную переменную

$$x = (r + u)/R_{in} \quad (17)$$

и подставляя (13), (17) в уравнение (12), получаем

$$x \frac{d\varepsilon_\theta}{dx} = 1 - e^{2\varepsilon_\theta}. \quad (18)$$

Проинтегрировав уравнение (18), находим окружную деформацию  $\varepsilon_\theta$ :

$$\varepsilon_\theta = \frac{1}{2} \ln \left( \frac{x^2}{x^2 + C_1} \right) \quad (19)$$

( $C_1$  — произвольная константа). Из уравнения (11) получаем выражение для окружной деформации на внутренней поверхности сосуда

$$\varepsilon_{\theta in} = \ln x_{in}, \quad (20)$$

где

$$x_{in} = \frac{R_{in} + u_{in}}{R_{in}},$$

$u_{in}$  — смещение точки на внутренней поверхности  $r = R_{in}$ . Из (19), (20) находим

$$\varepsilon_\theta = \frac{1}{2} \ln \left( \frac{x^2}{x^2 - x_{in}^2 + 1} \right). \quad (21)$$

Подставляя (21) в (16), получаем выражение для эквивалентной деформации  $\varepsilon$ :

$$\varepsilon = \frac{\beta}{2} \ln \left( \frac{x^2}{x^2 - x_{in}^2 + 1} \right). \quad (22)$$

Для определения давления, при котором имеет место пластическая неустойчивость, используем условие несжимаемости материала. Поскольку осевой деформацией можно пренебречь, а следовательно, длина сосуда в осевом направлении не меняется, условие, что объем материала сосуда до потери устойчивости и после ее потери один и тот же, сводится к условию равенства площадей поперечного сечения сосуда до потери устойчивости и после ее потери:

$$\pi[(R_{out} + u_{out})^2 - (R_{in} + u_{in})^2] = \pi(R_{out}^2 - R_{in}^2). \quad (23)$$

Здесь  $u_{out}$  — радиальное смещение на внешней поверхности сосуда  $r = R_{out}$ .

В безразмерных переменных условие (23) принимает вид

$$x_{out}^2 - x_{in}^2 = \varkappa^2 - 1, \quad (24)$$

где

$$x_{out} = \frac{R_{out} + u_{out}}{R_{in}}, \quad \varkappa = \frac{R_{out}}{R_{in}}.$$

Из (21), (24) следуют выражения для эквивалентной деформации на внутренней  $r = R_{in}$  и внешней  $r = R_{out}$  поверхностях:

$$\varepsilon_{in} = \beta \ln x_{in}; \quad (25)$$

$$\varepsilon_{out} = \frac{\beta}{2} \ln \left( 1 - \frac{1 - e^{2\varepsilon_{in}/\beta}}{\chi^2} \right). \quad (26)$$

Из (9), (12), (13), (15), (16) следует

$$\frac{d\sigma_r}{d\varepsilon} = \frac{\sigma}{\lambda\beta(1 - e^{2\varepsilon/\beta})}. \quad (27)$$

Проинтегрировав уравнение (27) с учетом уравнения (1) и краевых условий  $\sigma_r = -P$ ,  $\varepsilon = \varepsilon_{in}$  на внутренней поверхности и  $\sigma_r = -\alpha P$ ,  $\varepsilon = \varepsilon_{out}$  на внешней поверхности, получаем

$$P = \frac{K}{1 - \alpha} \int_{\varepsilon_{in}}^{\varepsilon_{out}} \frac{\varepsilon^n}{\lambda\beta(1 - e^{2\varepsilon/\beta})} d\varepsilon. \quad (28)$$

Параметр  $K$  в уравнении (28) вычисляется по формуле [6]

$$K = \frac{\sigma_u}{n^n} = \left( \frac{e}{n} \right)^n \sigma'_u,$$

где  $\sigma_u$ ,  $\sigma'_u$  — истинный и номинальный пределы прочности при растяжении соответственно;  $e$  — основание натурального логарифма. Таким образом, уравнение (28) записывается в виде

$$P = \frac{1}{1 - \alpha} \left( \frac{e}{n} \right)^n \sigma'_u \int_{\varepsilon_{in}}^{\varepsilon_{out}} \frac{\varepsilon^n}{\lambda\beta(1 - e^{2\varepsilon/\beta})} d\varepsilon. \quad (29)$$

Давление, при котором происходит разрушение сосуда высокого давления, обычно определяется как предельная нагрузка или максимальная несущая способность сосуда высокого давления. В точке неустойчивости внутреннее давление  $P$  достигает максимального значения. Из уравнения (26) следует, что деформация  $\varepsilon_{out}$  является функцией  $\varepsilon_{in}$ , из уравнения (29) следует, что давление  $P$  также является функцией  $\varepsilon_{in}$ . Таким образом, в точке пластической неустойчивости  $\partial P / \partial \varepsilon_{in} = 0$ . Из этого уравнения с использованием пакета Mathematica можно определить эквивалентную деформацию на внутренней поверхности  $\varepsilon_{in}$  в момент разрушения. Подставив эти значения в уравнение (29) и проинтегрировав полученное уравнение, определим давление  $P_b$ , при котором происходит разрушение (пластическая неустойчивость).

**3. Обсуждение результатов.** В случае отсутствия пластической анизотропии ( $r_a = r_\theta = 1$ ) и внешнего давления ( $\alpha = 0$ ) из (29) следует выражение для внутреннего давления в случае изотропного материала, удовлетворяющего критерию текучести Мизеса [4]:

$$P = \left( \frac{e}{n} \right)^n \sigma'_u \int_{\varepsilon_{in}}^{\varepsilon_{out}} \frac{\varepsilon^n}{1 - e^{\sqrt{3}\varepsilon}} d\varepsilon.$$

Из соотношений (25), (26) следует, что эквивалентные деформации на внутренней и внешней поверхностях сосуда не зависят от внешнего давления. При  $r_a = r_\theta = 1$  выражения для эквивалентных деформаций совпадают с выражениями, полученными в [4]:

$$\varepsilon_{in} = \frac{2}{\sqrt{3}} \ln x_{in}, \quad \varepsilon_{out} = \frac{1}{\sqrt{3}} \ln \left( 1 - \frac{1 - e^{\sqrt{3}\varepsilon_{in}}}{\chi^2} \right).$$

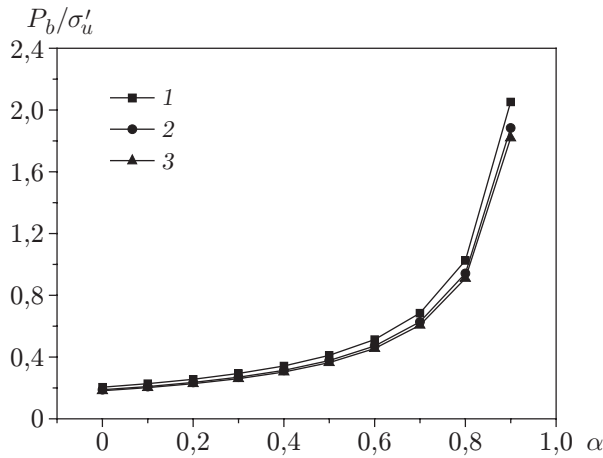


Рис. 1

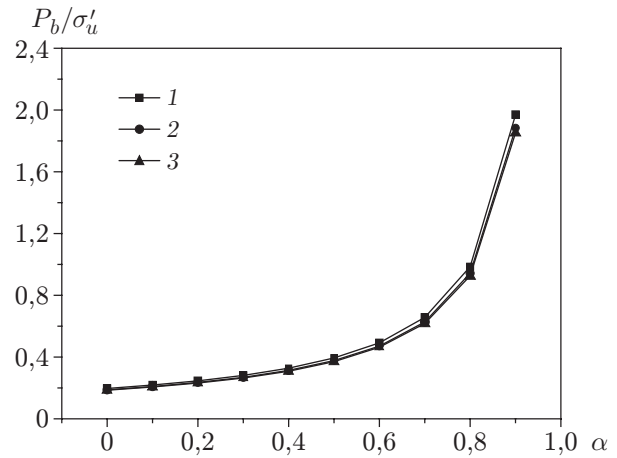


Рис. 2

Рис. 1. Зависимости разрушающего давления от параметра  $\alpha$  при  $n = 0,2$ ,  $\varkappa = 1,2$  и различных значениях параметра анизотропии  $r_a$ :  
 1 —  $r_a = 0,5$ , 2 —  $r_a = 1,0$ , 3 —  $r_a = 1,5$

Рис. 2. Зависимости разрушающего давления от параметра  $\alpha$  при  $n = 0,2$ ,  $\varkappa = 1,2$  и различных значениях параметра анизотропии  $r_\theta$ :  
 1 —  $r_\theta = 0,5$ , 2 —  $r_\theta = 1,0$ , 3 —  $r_\theta = 1,5$

На рис. 1, 2 приведены зависимости безразмерного разрушающего давления от параметра  $\alpha$  при  $\varkappa = 1,2$ ,  $n = 0,2$  и различных значениях параметров анизотропии  $r_a$  и  $r_\theta$ . Разрушающее давление увеличивается с увеличением внешнего давления, но уменьшается с увеличением параметров анизотропии  $r_a$ ,  $r_\theta$ . Зависимости эквивалентной деформации на внутренней и внешней поверхностях сосуда от параметров анизотропии приведены на рис. 3. Эквивалентные деформации как на внутренней, так и на внешней поверхности сосуда уменьшаются с увеличением параметра  $r_a$  и увеличиваются с увеличением параметра  $r_\theta$ .

На рис. 4 представлена зависимость разрушающего давления для толстостенного цилиндрического сосуда от показателя степени  $n$  в законе упрочнения материала. Видно, что разрушающее давление уменьшается с увеличением показателя степени  $n$ . На рис. 5 показана зависимость эквивалентной деформации на внутренней и внешней поверхностях толстостенного цилиндрического сосуда от показателя степени  $n$  в законе упрочнения. Как на внутренней, так и на внешней поверхности эквивалентная деформация увеличивается с увеличением показателя  $n$ .

На рис. 6 приведена зависимость разрушающего давления от отношения внешнего радиуса сосуда к внутреннему  $\varkappa$ . Видно, что разрушающее давление увеличивается с увеличением параметра  $\varkappa$ . На рис. 7 представлены зависимости эквивалентной деформации на внутренней и внешней поверхностях сосуда при разрушении от отношения внешнего радиуса сосуда к внутреннему  $\varkappa$ . С увеличением параметра  $\varkappa$  эквивалентная деформация на внутренней поверхности увеличивается, а на внешней уменьшается.

**Заключение.** В работе исследован процесс разрушения под действием внутреннего и внешнего давления замкнутого толстостенного цилиндрического сосуда при различных параметрах задачи. С использованием теории пластичности Хилла для материалов с ортогональной анизотропией получено аналитическое выражение для разрушающего давления. Вычислена эквивалентная деформация на внутренней и внешней поверхностях сосуда. Результаты исследования представлены в виде графиков зависимостей разрушающего дав-

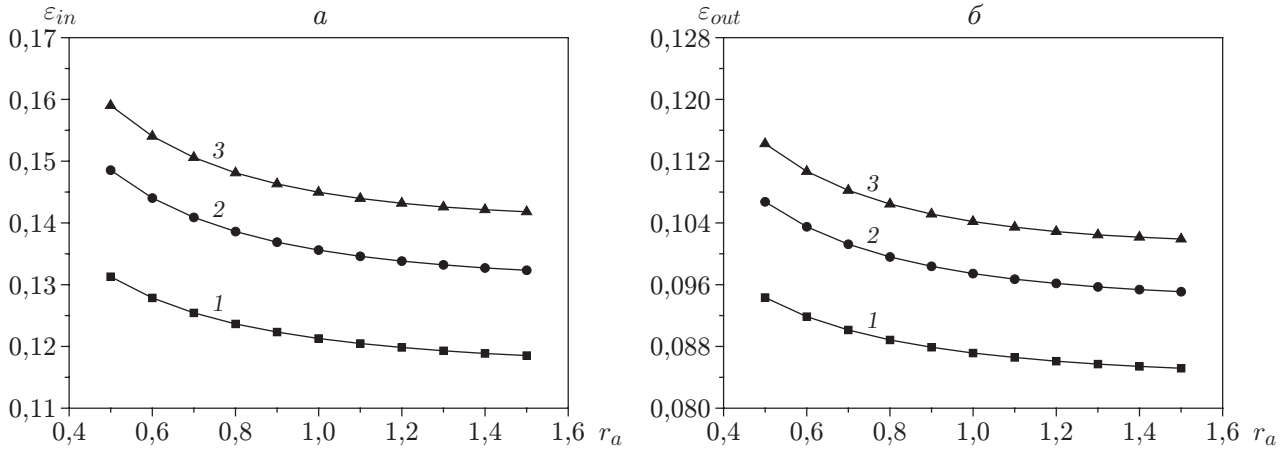


Рис. 3. Зависимости эквивалентной деформации на внутренней (а) и внешней (б) поверхностях сосуда от параметра анизотропии  $r_a$  при  $\varkappa = 1,2$ ,  $n = 0,2$ :  
 1 —  $r_\theta = 0,5$ , 2 —  $r_\theta = 1,0$ , 3 —  $r_\theta = 1,5$

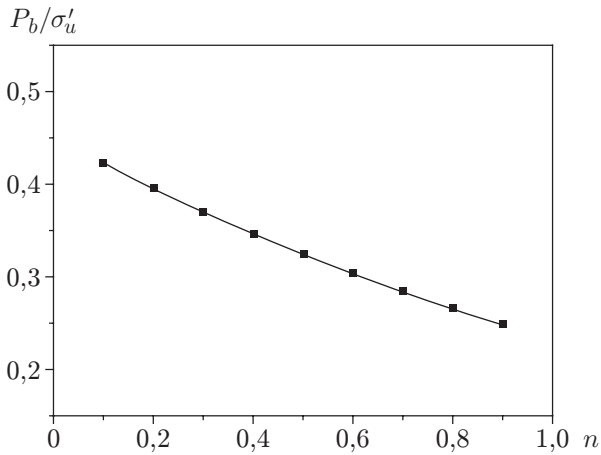


Рис. 4

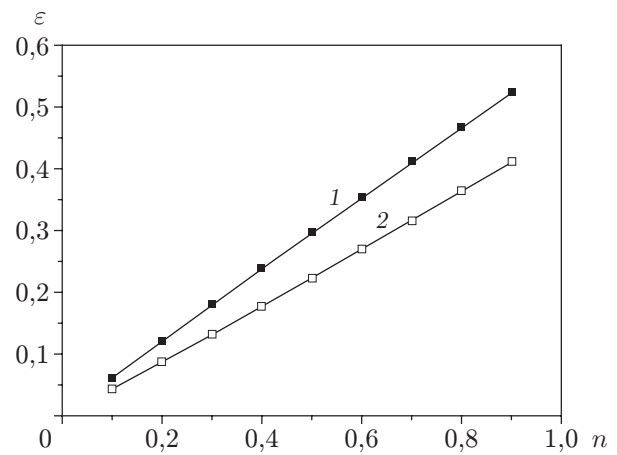


Рис. 5

Рис. 4. Зависимость разрушающего давления для толстостенного цилиндрического сосуда от показателя степени  $n$  в законе упрочнения при  $r_a = 1,0$ ,  $r_\theta = 0,5$ ,  $\varkappa = 1,2$ ,  $\alpha = 0,5$

Рис. 5. Зависимости эквивалентной деформации на внутренней (1) и внешней (2) поверхностях сосуда от показателя степени  $n$  в законе упрочнения при  $r_a = 1,0$ ,  $r_\theta = 0,5$ ,  $\varkappa = 1,2$

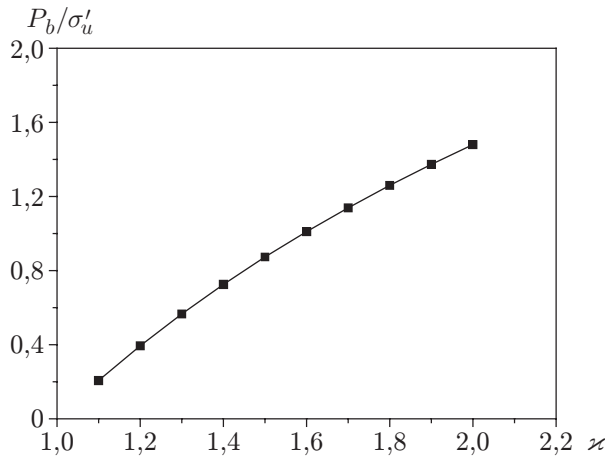


Рис. 6

Рис. 6. Зависимость разрушающего давления от отношения внешнего радиуса сосуда к внутреннему при  $r_a = 1,0$ ,  $r_\theta = 0,5$ ,  $n = 0,2$ ,  $\alpha = 0,5$

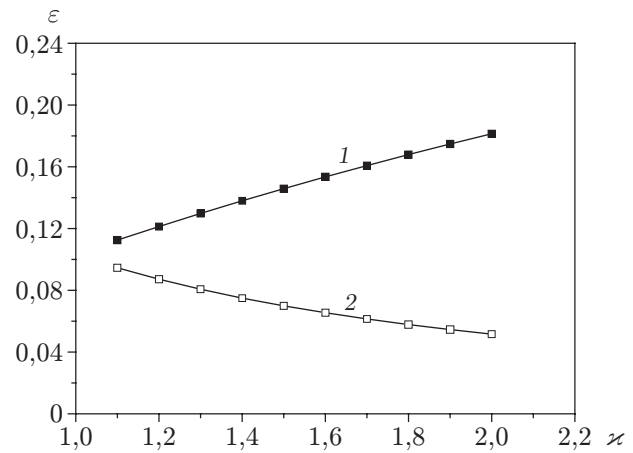


Рис. 7

Рис. 7. Зависимости эквивалентной деформации на внутренней (1) и внешней (2) поверхностях сосуда от отношения внешнего радиуса сосуда к внутреннему при  $r_a = 1,0$ ,  $r_\theta = 0,5$ ,  $n = 0,2$

ления от показателя степени в законе упрочнения материала сосуда и отношения внешнего радиуса к внутреннему.

## ЛИТЕРАТУРА

1. **Faupel J. H.** Yielding and bursting characteristics of heavy walled cylinders // Trans. ASME. J. Appl. Mech. 1956. V. 78, N 5. P. 1031–1064.
2. **Yeh M. K., Kyriakides S.** On the collapse of inelastic thick-walled tubes under external pressure // J. Energy Resources Technol. 1986. V. 108, N 1. P. 35–47.
3. **Kalnins A., Updike D. P.** Limit of pressures of cylindrical and spherical shells // Trans. ASME. J. Pressure Vessel. Technol. 2001. V. 123, N 3. P. 288–292.
4. **Christopher T., Rama Sarma B. S. V., Potti P. K. G., et al.** A comparative study on failure pressure estimations of unflawed cylindrical vessels // Intern. J. Pressure Vessels Piping. 2002. V. 79, N 1. P. 53–66.
5. **Zhu X. K., Leis B. N.** Strength criteria and analytic predictions of failure pressures in line pipes // Intern. J. Offshore Polar Engrs. 2004. V. 14, N 2. P. 125–131.
6. **Svensson N. L.** Bursting pressure of cylindrical and spherical vessels // Trans. ASME. J. Appl. Mech. 1958. V. 80, N 3. P. 89–96.
7. **Sidebottom O. M., Chu S. C.** Bursting pressure of thick-walled cylinders subjected to internal and external pressures, axial load and torsion // Experiment. Mech. 1975. V. 15, N 6. P. 209–218.
8. **Mellor P. B.** Tensile instability in thin-walled tubes // J. Mech. Engng Sci. 1962. V. 4, N 3. P. 251–256.
9. **Stewart G., Klever F. J.** An analytical model to predict the burst capacity of pipeline // Proc. of the Intern. conf. of offshore mechanics and Arctic engineering, Houston (USA), 27 Feb. — 3 Mar. 1994. S. 1., 1994. V. 5. P. 177–188.
10. **Gao X. L.** Strain gradient plasticity solution for an internally pressurized thick-walled cylinder of an elastic linear-hardening material // Z. angew. Math. Phys. 2007. Bd 58, N 1. S. 161–173.

11. **Zhu X. K., Leis B. N.** Average shear stress yield criterion and its application to plastic collapse analysis of pipelines // Intern. J. Pressure Vessels Piping. 2006. V. 83, N 9. P. 663–671.
12. **Wang L. Z., Zhang Y. Q.** Plastic collapse analysis of thin-walled pipes based on unified yield criterion // Intern. J. Mech. Sci. 2011. V. 53, N 5. P. 329–406.
13. **Deng K. H., Lin Y. H., Li B., Wang X. H.** Investigation on the calculation model of burst pressure for tube and casing under practical service environment // Intern. J. Hydrogen Energy. 2019. V. 44, N 41. P. 23277–23288.
14. **Zhang Y. Q., Wang L. Z.** Burst pressure of pipelines with plastic anisotropy under combined internal and external pressures // ASCE. J. Engng Mech. 2013. V. 139, N 7. P. 920–924.
15. **Hill R.** The mathematical theory of plasticity. Oxford: Clarendon Press, 1950.
16. **Crossland B., Bones J. A.** The ultimate strength of thick walled cylinders subjected to internal pressure // Engineering. 1955. V. 179. P. 80–83.

*Поступила в редакцию 3/VII 2020 г.,  
после доработки — 3/VII 2020 г.  
Принята к публикации 31/VIII 2020 г.*

---